

中国人指节纹的研究

黎屏周 宋永春

(江西医学院人体解剖学教研室,南昌,330006)

关键词 指节纹;汉族

内 容 提 要

本文观察研究了400名(男200人,女200人)南昌地区汉族人的指节纹。结果表明,中国人的指节纹以钩型(43.10%)最常见,其次为直线型(37.10%)和弓型(15.28%)。我们还就男女性别和左右手进行了比较,并与国外有关资料作了分析比较。

指节纹 (The configurations of phalanges) 是指手指中间指节和近端指节掌侧面皮嵴纹形成的花样。它亦是皮纹学中不可缺少的一部分。最早观察到指节上有明确花纹的有: Whipple (1904); Pinkus (1927)。直到1937年 Ploetz-Radmann 才对这些不同的花纹形态,系统地提出了4种基本类型(直线、钩、波和弓型)和8种联合类型(角、弓角、双角、双弓角、双弓、包围圈、羽状和混合等型)。并在此基础上,再进一步把花纹形态细分了29个亚型。继后,又有许多学者如: MacArthur (1938)、Chatterjee (1959)、Ôta *et al.* (1964) 和 Basu (1973) 等从体质人类学和遗传学等方面对指节纹进行了一些观察研究。证明了指节纹具有较强的种族特异性和个体特异性。属多基因遗传方式。

国内有关指节纹的研究,已有少量初步的报告。本文为了完臻中国人皮纹学资料,亦向体质人类学、法医学以及临床医学方面提供参考资料。鉴此,我们对中国人的指节纹进行了一次较系统的观察研究。

材 料 与 方 法

本文对南昌市400名汉族人(男200人,女200人),江西籍人占78.50%,年龄18—24岁。用朱红印泥拓采手印图,依据 Ploetz-Radmann 分类法,在5—6倍放大镜下,对指节纹进行了观察研究。

Ploetz-Radmann 的分型方法(见图1):

(一) 基 本 类 型

1. 直线型 (Straight, St): 峴线稍呈垂直或水平, 为拟直线型 (quSt) 峴线倾斜向桡侧或尺侧, 分别称为桡、尺直线型 (rSt 和 uSt)。
2. 钩型 (Hook, H): 在花纹一侧有些嵴线形似弧形钩状。钩可存在远端或近端,

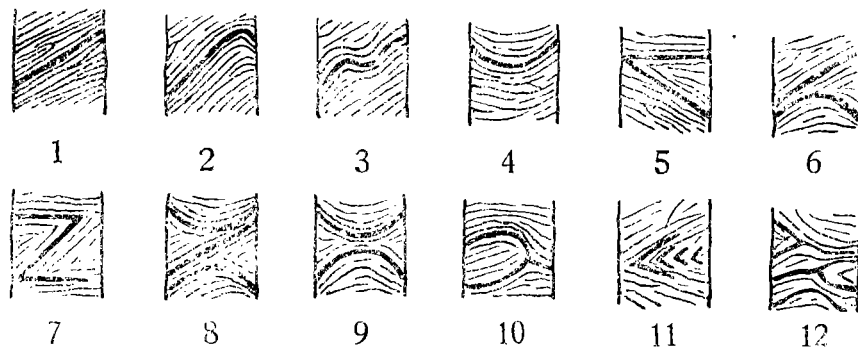


图1 中间和近端指节纹的类型

1. 直线型(St) 2. 钩型(H) 3. 波型(WI) 4. 弓型(B) 5. 角型(Wk) 6. 弓角型(BWk)
 7. 双角型(DWk) 8. 双弓角型(DBWk) 9. 双弓型(DB) 10. 包围圈型(Em)
 11. 羽状型(Fm) 12. 混合型(SM)

嵴线的其余部分斜向桡侧或尺侧,故可分为桡、尺侧远端钩型(drH 和 duH)和桡、尺侧近端钩型(prH 和 puH)。

3. 波型(Wave, WI): 花纹中有些嵴线呈波浪形。分为远端波型(dWI)和近端波型(pWI)。

4. 弓型(Arch, B): 峴线弯成弓形。依弓的凹向远端或近端,分为远端弓型(dB)和近端弓型(pB)。

(二) 联合花样

1. 角型(Angle, Wk): 由两部分直线(一部分横线和一部分斜线)相交而成。依角尖的指向分桡、尺侧远端角型($drWk$ 和 $duWk$)和桡、尺侧近端角型($prWk$ 和 $puWk$)。

2. 弓角型(Arch and Angle, BWk): 由一些斜形和弓形嵴线构成的角形花样。亦依角尖的指向分为桡、尺侧远端弓角型($drBWk$ 和 $duBWk$)和桡、尺侧近端弓角型($prBWk$ 和 $puBWk$)。

3. 双角型(Double Angle, DWk): 由一些斜形嵴线和远、近两部分横形嵴线构成的“Z”双角形。依斜形嵴线的倾斜方向,分桡、尺侧双角型($rDWk$ 和 $uDWk$)。

4. 双弓角型(Double Arch and Angle, DBWk): 由一些斜形嵴线和远、近两部分弓形嵴线相交而成。亦依斜形嵴线的倾斜方向,分桡、尺侧双弓角型($rDBWk$ 和 $uDBWk$)。

5. 双弓型(Double Arch, DB): 是分别由凹向远、近两端的弓形嵴构成的花样。

6. 包围圈型(Enclosute, Em): 由两部分弧形嵴线构成的一种呈不完全包围圈形状的花纹。以封闭端的朝向分为桡、尺包围圈型(rEm 和 uEm),在包围程度略差而封闭端欠严密的叫拟包围圈型($quEm$)。

7. 羽状型(Feather, Fm): 皮嵴呈横位羽毛形排列。

8. 混合型(Accidental, SM): 由几种不同类型的嵴线花纹混杂而成。

表 1 男性近指节花纹类型出现率

n = 2000

类 型	左 手						右 手						双 手
	1	2	3	4	5	合计	1	2	3	4	5	合计	
桡侧直线型 (rSt)	27	41	7	0	0	75	30	80	43	8	0	161	236(11.80%)
尺侧直线型 (uSt)	0	0	25	25	186	236	0	0	4	18	187	209	445(22.25%)
拟直线型 (quSt)	0	6	4	5	0	15	0	0	3	11	0	14	29(1.45%)
桡侧远端钩型 (drH)	173	130	8	2	1	314	170	112	57	4	0	343	657(32.85%)
尺侧远端钩型 (duH)	0	0	39	109	12	160	0	0	3	47	13	63	223(11.15%)
桡侧近端钩型 (prH)	0	0	1	0	0	1	0	0	0	0	0	0	1(0.05%)
尺侧近端钩型 (puH)	0	1	1	0	1	3	0	4	4	1	0	9	12(0.60%)
远端波型 (dW1)	0	3	7	8	0	18	0	1	6	9	0	16	34(1.70%)
近端波型 (pW1)	0	2	7	9	0	18	0	0	8	13	0	21	39(1.95%)
远端弓型 (dB)	0	1	7	1	0	9	0	0	3	2	0	5	14(0.70%)
近端弓型 (pB)	0	15	74	40	0	129	0	1	66	85	0	152	281(14.05%)
桡侧远端角型 (drWk)	0	0	0	0	0	0	0	0	0	0	0	0	0
尺侧远端角型 (duWk)	0	1	1	0	0	2	0	1	1	0	0	2	4(0.20%)
桡侧近端角型 (prWk)	0	0	0	0	0	0	0	0	0	0	0	0	0
尺侧近端角型 (puWk)	0	0	0	0	0	0	0	0	0	0	0	0	0
桡侧远端弓角型 (drBWk)	0	0	0	0	0	0	0	0	0	0	0	0	0
尺侧远端弓角型 (duBWk)	0	0	0	0	0	0	0	1	0	0	0	1	1(0.05%)
桡侧近端弓角型 (prBWk)	0	0	0	0	0	0	0	0	0	0	0	0	0
尺侧近端弓角型 (puBWk)	0	0	0	0	0	0	0	0	0	0	0	0	0
桡侧双角型 (rDWk)	0	0	0	0	0	0	0	0	0	0	0	0	0
尺侧双角型 (uDWk)	0	0	0	0	0	0	0	0	0	0	0	0	0
桡侧双弓角型 (rDBWk)	0	0	0	0	0	0	0	0	0	0	0	0	0
尺侧双弓角型 (uDBWk)	0	0	0	0	0	0	0	0	0	0	0	0	0
双弓型 (DB)	0	0	0	0	0	0	0	0	0	0	0	0	0
桡侧包围圈型 (rEm)	0	0	8	1	0	9	0	0	1	1	0	2	11(0.55%)
尺侧包围圈型 (uEm)	0	0	0	0	0	0	0	0	0	0	0	0	0
拟包围圈型 (quEm)	0	0	11	0	0	11	0	0	1	1	0	2	13(0.65%)
羽状型 (Fm)	0	0	0	0	0	0	0	0	0	0	0	0	0
混合型 (SM)	0	0	0	0	0	0	0	0	0	0	0	0	0
合 计	200	200	200	200	200	1000	200	200	200	200	200	1000	2000(100%)

表2 女性近指节花纹类型出现率

n = 2000

类 型	左 手						右 手						双 手
	1	2	3	4	5	合计	1	2	3	4	5	合计	
桡侧直线型 (rSt)	71	57	10	0	0	138	65	66	12	2	1	146	284(14.20%)
尺侧直线型 (uSt)	0	0	16	19	191	226	0	1	11	24	190	226	452(22.60%)
拟直线型 (quSt)	0	5	11	7	0	23	0	2	4	9	0	15	38(1.90%)
桡侧远端钩型 (drH)	129	90	13	3	2	237	135	116	61	2	0	314	551(27.55%)
尺侧远端钩型 (duH)	0	1	59	116	7	183	0	0	19	69	9	97	280(14.00%)
桡侧近端钩型 (prH)	0	0	0	0	0	0	0	0	0	0	0	0	0
尺侧近端钩型 (puH)	0	0	0	0	0	0	0	1	1	0	0	2	2(0.10%)
远端波型 (dW1)	0	3	8	6	0	17	0	5	3	3	0	11	28(1.40%)
近端波型 (pW1)	0	0	1	1	0	2	0	3	1	6	0	10	12(0.60%)
远端弓型 (dB)	0	1	0	2	0	3	0	0	2	2	0	4	7(0.35%)
近端弓型 (pB)	0	42	64	45	0	151	0	4	75	79	0	158	309(15.45%)
桡侧远端角型 (drWk)	0	0	0	0	0	0	0	0	0	0	0	0	0
尺侧远端角型 (duWk)	0	1	0	0	0	1	0	1	0	1	0	2	3(0.15%)
桡侧近端角型 (prWk)	0	0	0	0	0	0	0	0	0	0	0	0	0
尺侧近端角型 (puWk)	0	0	2	0	0	2	0	0	0	0	0	0	2(0.10%)
桡侧远端弓角型 (drBWk)	0	0	0	0	0	0	0	0	0	0	0	0	0
尺侧远端弓角型 (duBWk)	0	0	0	0	0	0	0	1	0	0	0	1	1(0.05%)
桡侧近端弓角型 (prBWk)	0	0	0	0	0	0	0	0	0	0	0	0	0
尺侧近端弓角型 (puBWk)	0	0	0	0	0	0	0	0	0	0	0	0	0
桡侧双角型 (rDWk)	0	0	0	0	0	0	0	0	0	0	0	0	0
尺侧双角型 (uDwK)	0	0	0	0	0	0	0	0	0	0	0	0	0
桡侧双弓角型 (rDBWk)	0	0	0	0	0	0	0	0	0	0	0	0	0
尺侧双弓角型 (uDwK)	0	0	0	0	0	0	0	0	0	0	0	0	0
双弓型 (DB)	0	0	0	0	0	0	0	0	0	0	0	0	0
桡侧包围圈型 (rEm)	0	0	10	0	0	10	0	0	2	0	0	2	12(0.60%)
尺侧包围圈型 (uEm)	0	0	0	1	0	1	0	0	1	2	0	3	4(0.20%)
拟包围圈型 (quEm)	0	0	6	0	0	6	0	0	8	1	0	9	15(0.75%)
羽状型 (Fm)	0	0	0	0	0	0	0	0	0	0	0	0	0
混合型 (SM)	0	0	0	0	0	0	0	0	0	0	0	0	0
合 计	200	200	200	200	200	1000	200	200	200	200	200	1000	2000(100%)

表3 近指节纹百分频率的种族间比较

性 别	男 性			女 性		
	中 国 人	德 国 人	日 本 人	中 国 人	德 国 人	日 本 人
种 族						
报 告 者	本 文	Ploetz-Radmann, 1937	Ôta et al., 1964	本 文	Ploetz-Radmann, 1937	Ôta et al., 1964
例 数	2000	1390	890	140	2000	610
桡侧直线型 (rSt)	11.80	17.70	2.02	0	14.20	18.69
尺侧直线型 (uSt)	22.25	20.00	2.02	0.71	22.60	21.64
拟直线型 (quSt)	1.45	2.73	0.11	0	1.90	2.79
桡侧远端钩型 (drH)	32.85	14.32	30.34	34.29	27.55	12.62
尺侧远端钩型 (duH)	11.15	10.07	19.78	21.43	14.00	15.41
桡侧近端钩型 (prH)	0.05	4.24	0.56	0	0	4.59
尺侧近端钩型 (puH)	0.60	0.22	0	0	0.10	0.16
远端波型 (dW1)	1.70	3.24	2.36	0	1.40	2.95
近端波型 (pW1)	1.95	2.73	1.35	1.43	0.60	2.95
远端弓型 (dB)	0.70	9.71	39.89	42.14	0.35	10.98
近端弓型 (pB)	14.05	3.45	0.90	0	15.45	1.97
桡侧远端角型 (drWk)	0	0.36	0	0	0	0
尺侧远端角型 (duWk)	0.20	0	0	0	0.15	0
桡侧近端角型 (prWk)	0	0	0	0	0	0
尺侧近端角型 (puWk)	0	0.14	0	0	0.10	0
桡侧远端弓角型 (drBWk)	0	0.43	0	0	0	0.49
尺侧远端弓角型 (duBWk)	0.05	0	0	0	0.05	0
桡侧近端弓角型 (prBWk)	0	0	0.11	0	0	0.06
尺侧近端弓角型 (puBWk)	0	0.07	0.34	0	0	0.25
桡侧双角型 (rDWk)	0	0	0	0	0	0
尺侧双角型 (uDWk)	0	0.07	0	0	0	0
桡侧双弓角型 (rDBWk)	0	0.07	0	0	0	0.06
尺侧双弓角型 (uDBWk)	0	0	0.11	0	0	0
双弓型 (DB)	0	0.07	0	0	0	0
桡侧包围圈型 (rEm)	0.55	2.52	0	0	0.60	0.98
尺侧包围圈型 (uEm)	0	1.37	0	0	0.20	1.15
拟包围圈型 (quEm)	0.65	5.18	0.11	0	0.75	2.13
羽状型 (Fm)	0	0.50	0	0	0	0.33
混合型 (SM)	0	0.79	0	0	0	0.16
合 计	100.00	99.98	100.00	100.00	100.00	99.99
					100.00	99.99

表4 男性中指节花纹类型出现率

n = 1600

类 型	左 手					右 手					双 手
	2	3	4	5	合计	2	3	4	5	合计	
桡侧直线型 (rSt)	109	6	11	0	126	162	55	67	0	284	410(25.63%)
尺侧直线型 (uSt)	1	12	38	162	213	2	1	3	144	150	363(22.69%)
拟直线型 (quSt)	28	7	6	0	41	4	1	6	3	14	55(3.44%)
桡侧远端钩型 (drH)	3	0	2	0	5	1	2	13	0	16	21(1.31%)
尺侧远端钩型 (duH)	0	2	15	5	22	0	0	1	4	5	27(1.69%)
桡侧近端钩型 (prH)	0	0	3	0	3	0	1	0	0	1	4(0.25%)
尺侧近端钩型 (puH)	9	15	4	0	28	8	56	7	0	71	99(6.19%)
远端波型 (dW1)	0	3	15	0	18	1	2	8	0	11	29(1.81%)
近端波型 (pW1)	3	4	6	0	13	0	0	2	0	2	15(0.94%)
远端弓型 (dB)	26	110	52	0	188	6	39	37	1	83	271(16.94%)
近端弓型 (pB)	1	4	19	0	24	0	0	10	1	11	35(2.19%)
桡侧远端角型 (drWk)	0	0	8	32	40	0	0	1	44	45	85(5.31%)
尺侧远端角型 (duWk)	13	0	3	0	16	13	23	6	0	42	58(3.63%)
桡侧近端角型 (prWk)	1	0	0	0	1	1	2	7	0	10	11(0.69%)
尺侧近端角型 (puWk)	0	1	0	0	1	0	0	0	0	0	1(0.06%)
桡侧远端弓角型 (drBWk)	0	1	0	0	1	0	1	2	0	3	4(0.25%)
尺侧远端弓角型 (duBWk)	1	1	1	0	3	1	1	0	0	2	5(0.31%)
桡侧近端弓角型 (prBWk)	0	0	2	0	2	0	0	7	0	7	9(0.56%)
尺侧近端弓角型 (puBWk)	0	3	3	1	7	0	0	0	0	0	7(0.44%)
桡侧双角型 (rDWk)	1	1	0	0	2	1	2	2	0	5	7(0.44%)
尺侧双角型 (uDw)	0	0	0	0	0	0	3	4	0	7	7(0.44%)
桡侧双弓角型 (rDBWk)	1	0	0	0	1	0	4	5	0	9	10(0.63%)
尺侧双弓角型 (uDw)	0	4	2	0	6	0	1	0	0	1	7(0.44%)
双弓型 (DB)	2	26	10	0	38	0	6	12	0	18	56(3.50%)
桡侧包围圈型 (rEm)	0	0	0	0	0	0	0	0	0	0	0
尺侧包围圈型 (uEm)	0	0	0	0	0	0	0	0	0	0	0
拟包围圈型 (quEm)	0	0	0	0	0	0	0	0	0	0	0
羽状型 (Fm)	1	0	0	0	1	0	0	0	3	3	4(0.25%)
混合型 (SM)	0	0	0	0	0	0	0	0	0	0	0
合 计	200	200	200	200	800	200	200	200	200	800	1600(99.65%)

表 5 女性中指节花纹类型出现率

n = 1600

类 型	左 手					右 手					双 手
	2	3	4	5	合计	2	3	4	5	合计	
桡侧直线型 (rSt)	97	9	12	1	119	128	36	42	0	206	325(20.31%)
尺侧直线型 (uSt)	2	9	34	153	198	0	1	10	136	147	345(21.56%)
拟直线型 (quSt)	30	8	17	0	55	11	3	13	2	29	84(5.25%)
桡侧远端钩型 (drH)	2	0	1	4	7	1	3	8	1	13	20(1.25%)
尺侧远端钩型 (duH)	0	1	11	2	14	1	3	1	2	7	21(1.31%)
桡侧近端钩型 (prH)	1	3	0	0	4	2	6	0	0	8	12(0.75%)
尺侧近端钩型 (puH)	6	6	1	0	13	5	32	0	0	37	50(3.13%)
远端波型 (dW1)	0	2	4	0	6	4	1	0	0	5	11(0.69%)
近端波型 (pW1)	0	0	4	0	4	0	0	0	0	0	4(0.25%)
远端弓型 (dB)	26	118	54	0	198	8	70	50	0	128	326(20.38%)
近端弓型 (pB)	0	3	18	0	21	1	1	14	2	18	39(2.44%)
桡侧远端角型 (drWk)	3	4	5	37	49	1	2	6	53	62	111(6.94%)
尺侧远端角型 (duWk)	18	1	1	1	21	22	8	3	0	33	54(3.38%)
桡侧近端角型 (prWk)	1	1	2	0	4	3	1	5	0	9	13(0.81%)
尺侧近端角型 (puWk)	4	3	4	1	12	0	0	1	1	2	14(0.88%)
桡侧远端弓角型 (drBWk)	3	3	6	0	12	5	3	5	1	14	26(1.63%)
尺侧远端弓角型 (duBWk)	3	3	2	0	8	3	3	6	0	12	20(1.25%)
桡侧近端弓角型 (prBWk)	1	3	3	0	7	2	8	17	0	27	34(2.13%)
尺侧近端弓角型 (puBWk)	0	2	1	1	4	0	0	0	0	0	4(0.25%)
桡侧双角型 (rDWk)	1	0	1	0	2	3	9	5	0	17	19(1.19%)
尺侧双角型 (uDWk)	0	2	5	0	7	0	1	2	1	4	11(0.69%)
桡侧双弓角型 (rDBWk)	1	3	2	0	6	0	1	3	0	4	10(0.63%)
尺侧双弓角型 (uDBWk)	0	2	4	0	6	0	2	0	0	2	8(0.50%)
双弓型 (DB)	0	11	5	0	16	0	6	7	0	13	29(1.81%)
桡侧包围圈型 (rEm)	0	0	0	0	0	0	0	0	0	0	0
尺侧包围圈型 (uEm)	1	0	0	0	1	0	0	1	0	1	2(0.13%)
拟包围圈型 (quEm)	0	0	0	0	0	0	0	0	0	0	0
羽状型 (Fm)	0	2	1	0	3	0	0	0	1	1	4(0.25%)
混合型 (SM)	0	1	2	0	3	0	0	1	0	1	4(0.25%)
合 计	200	200	200	200	800	200	200	200	200	800	1600(100.04%)

表 6 中指节纹百分频率的种族间比较

性 别		男 性			女 性		
种 族	中国人	德国人	日本 人	中国人	德国人	日本 人	
报告者	本文	Ploetz-Radmann, 1937	Ôta et al., 1964		本文	Ploetz-Radmann, 1937	Ôta et al., 1964
例 数	1600	1112	1329	112	1600	488	1283
桡侧直线型 (rSt)	25.63	14.75	9.33	10.71	20.31	14.96	4.99
尺侧直线型 (uSt)	22.69	10.52	7.07	8.04	21.56	14.96	6.00
拟直线型 (quSt)	3.44	2.52	1.73	1.79	5.25	5.53	1.09
桡侧远端钩型 (drH)	1.31	1.08	2.18	3.57	1.25	0.82	0.55
尺侧远端钩型 (duH)	1.69	2.79	8.73	3.57	1.31	2.87	7.56
桡侧近端钩型 (prH)	0.25	3.60	9.10	5.36	0.75	2.05	6.31
尺侧近端钩型 (puH)	6.19	0.09	0.83	0	3.13	0	1.25
远端波型 (dW1)	1.81	0.99	0.53	0	0.69	0.20	0.16
近端波型 (pW1)	0.94	0.45	0.83	0	0.25	1.02	0.39
远端弓型 (dB)	16.94	6.74	12.34	15.18	20.38	5.33	8.73
近端弓型 (pB)	2.19	15.65	7.67	4.46	2.44	19.06	9.28
桡侧远端角型 (drWk)	5.31	4.86	0.83	0	6.94	2.46	0.23
尺侧远端角型 (duWk)	3.63	14.03	0.68	0	3.38	13.32	0.94
桡侧近端角型 (prWk)	0.69	0.63	0	0	0.81	0.61	0
尺侧近端角型 (puWk)	0.06	0.18	0.08	0	0.88	0.20	0
桡侧远端弓角型 (drBWk)	0.25	4.41	3.91	8.04	1.63	4.10	8.42
尺侧远端弓角型 (duBWk)	0.31	1.98	2.03	1.79	1.25	4.51	4.21
桡侧近端弓角型 (prBWk)	0.56	2.61	7.22	9.82	2.13	1.64	8.03
尺侧近端弓角型 (puBWk)	0.44	0.54	4.29	3.57	0.25	0	5.61
桡侧双角型 (rDWk)	0.44	2.26	0.90	0	1.19	1.02	1.09
尺侧双角型 (uDWk)	0.44	1.80	0.30	0	0.69	1.23	1.01
桡侧双弓角型 (rDBWk)	0.63	3.69	7.75	12.50	0.63	1.64	10.60
尺侧双弓角型 (uDBWk)	0.44	1.89	6.02	7.14	0.50	1.43	8.03
双弓型 (DB)	3.50	0.63	5.64	4.46	1.81	0.61	5.46
桡侧包围圈型 (rEm)	0	0.09	0	0	0	0	0
尺侧包围圈型 (uEm)	0	0	0	0	0.13	0	0
拟包围圈型 (quEm)	0	0	0	0	0	0	0.08
羽状型 (Fm)	0.25	0	0	0	0.25	0.20	0
混合型 (SM)	0	0.90	0	0	0.25	0.20	0
合 计	99.65	100.30	99.99	100.00	100.04	99.97	100.02
							100.00

结 果 与 讨 论

(一) 近端指节纹

从表 1、2 中所见, 每指的近指节几乎都有基本类型的花纹存在。钩型出现率最高 (43.10%), 其中又以 drH 亚型为多数(占钩型中的 69.98%); 其次为直线型(37.10%), 该型中常见的是 uSt 亚型(占直线型中的 60.44%); 再次为弓型(15.27%), 其中绝大多数是 pB 亚型(占弓型中的 96.56%)。联合类型花纹在近端指节上出现率甚低, 仅占全部花纹的 1.65%。

各近指节纹类型特征如下:

第 1 指 drH 型比所有指的出现率都高, 男性比女性高 ($P < 0.01$)。其次为 rSt 型。此外, 未见他型出现。

第 2 指 drH 型和 rSt 型出现率较高。左手 pB 型明显高于右手 ($P < 0.01$), 而且女性明显高于男性 ($P < 0.01$)。

第 3 指 pB 型出现率较高。其次左手以 duH 型为高, 右手以 drH 型为高。

第 4 指 duH 型较常见, 左手明显高于右手 ($P < 0.01$)。其次为 pB 型, 右手较左手为高 ($P < 0.01$)。

第 5 指仅有 uSt 型和 duH 型两种花样, 主要是 uSt 型。

近指节纹种族间的比较见表 5。drH 型出现率近似于日本人 ($P > 0.05$), 但明显高于德国人 ($P < 0.01$)。rSt 型明显高于日本人和德国人 ($P < 0.01$)。pB 型则明显低于日本人和德国人 ($P < 0.01$)。

(二) 中 指 节 纹

从表 4、5 中所见, 除了有基本类型外, 还出现了较多的联合类型, 它们占总数的 19.81%。男性中未见包围圈型, 女性亦极少见(仅出现 2 例)。

各中指节纹类型特征如下:

第 2 指 rSt 型出现率最高。其次是 quSt 型和 pB 型。右手 rSt 型高于左手 ($P < 0.01$), 而 quSt 型和 dB 型左手明显高于右手 ($P < 0.01$)。

第 3 指 dB 为最常见。其次为 puH 型和 rSt 型。另外, 双弓型 (DB) 的出现率比所有指都高。

第 4 指出现最多的花纹是 dB 型。其次是 rSt 型和 uSt 型。左手的 uSt 型明显高于右手 ($P < 0.01$), rSt 型则反之。

第 5 指的花纹类型要比近端指节的多。主要是 uSt 型和 drWk 型。

从表 6 中所见, rSt、uSt 和 dB 型明显高于德国人和日本人 ($P < 0.01$)。而 pB 型则明显低于德国人和日本人 ($P < 0.01$)。

(1990 年 8 月 21 日收稿)

参 考 文 献

- 王国良等, 1987。403 例正常人手指中节、近节皮纹调查。遗传, 9(6): 25—26。
- Basu, S. K., 1973. Newpattern types on the middle and basal phalanges of the finger. *Hum. Hered.*, 23: 46—48.
- Chatterjee, S. K., 1959. Classification of middle phalange impression. *Finger Print Ident. Mag.*, 41: 3—17.
- MacArthur, J. W., 1938. Reliability of dermatoglyphics in twin diagnosis. *Hum. Biol.*, 10. 12—15.
- Ôta, S. and Y. Furuya, 1964. Studies on the configuration of proximal and middle phalanges. *Jap. J. Legal med.*, 18: 119—134.
- Ploetz-Radmann, M., 1937. Die Hautleistenmuster der unteren beiden Fingerglieder der menschlichen Hand. *Z. Morphol. Anthropol.*, 36: 281—284.
- Pinkus, F., 1927. Die normale Anatmie der Haut. In: *Anatomie der Haut; Handbuch der Haut und Geschlechtskrankheiten*. 1—378. Eds. B. Bloch, F. Pinkus and W. Fpaleholz. Julius Springer, Berlin.
- Whipple, I. L., 1904. The ventral surface of the mammalian cheridium. *Z. Morphol. Anthropol.*, 7: 261—264.

STUDIES ON THE PHALANGEAL CONFIGURATIONS OF CHINESE

Li Pingzhou Song Yongchun

(Anatomy Department, Jiangxi Medical College, Nanchang 330006)

Key words Phalangeal configurations; Han Nationality

Abstract

In this paper, the phalangeal configurations of 400 cases (males 200, females 200) of Han Nationality in Nanchang, were studied. The results showed that the most common type is hook (43.10%), the second and third most frequent types are straight (37.10%) and arch (15.28%). We have made comparisons in sex and hand differences.